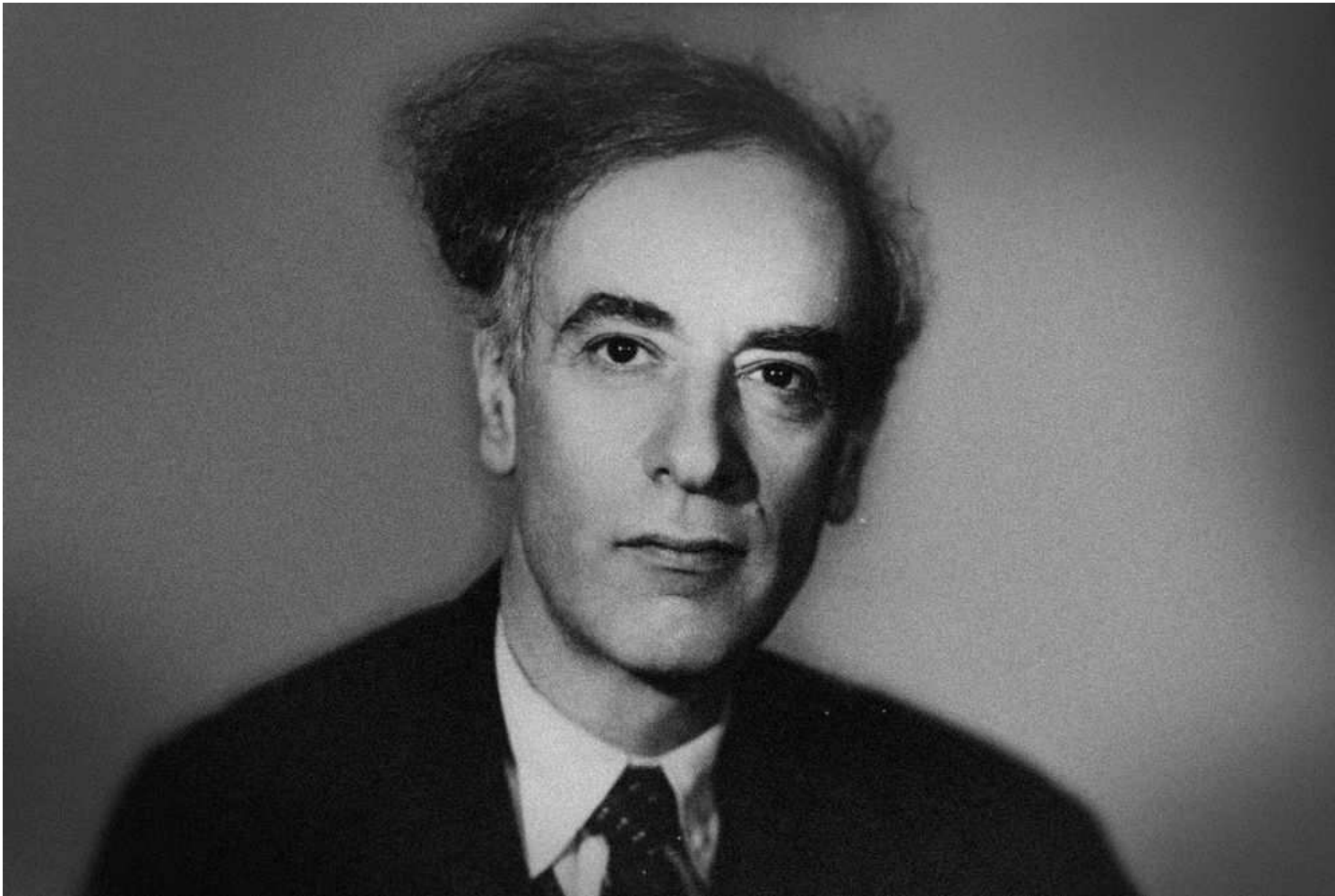


Landau-Dämpfung



Lev Davidowitsch Landau (1908 - 1968)

Kinetische Beschreibung von Plasmen

- *Ausgangspunkt:* Vlasov-Gleichung (Anatoly Vlasov, 1938):

$$\frac{\partial f}{\partial t} + \vec{v} \cdot \nabla_x f + \frac{q}{m} \left(\vec{E} + \vec{v} \times \vec{B} \right) \cdot \nabla_v f = 0$$

- Ansatz ebener Wellen (Fourier-Moden, $\omega = f(k)$ reell) misslingt für

$$v = v_{\text{phase}} = \frac{\omega}{k}$$

aufgrund einer Singularität in der Dispersionsrelation.

- Lösung durch Lev Landau (J. Phys. (USSR) X (1) 25 (1946))

Ansatz mit Laplace-Transformation:

- Dämpfung als zusätzlicher Freiheitsgrad
- Elegante Lösung der Dispersionsrelation

Elektrostatische Elektronenwellen

Betrachten Elektronen, $q = -e$, elektrostatisches Problem: $B, \dot{B} = 0, \vec{E} = -\nabla\phi$

Vlasov- und Poisson-Gleichungen für f und ϕ :

$$\frac{\partial f}{\partial t} + \vec{v} \cdot \nabla_x f + \frac{e}{m} (\nabla\phi) \cdot \nabla_v f = 0, \quad \nabla^2 \phi = -\frac{\rho}{\epsilon_0} = -\frac{e}{\epsilon_0} \left[n_0 - \iiint_{-\infty}^{\infty} f \, d^3v \right]$$

Linearisieren ($f_0, \phi_0 = \text{const}$), Gleichungen für erste Ordnung (Index 1 weggelassen):

$$\frac{\partial f}{\partial t} + \vec{v} \cdot \nabla_x f + \frac{e}{m} (\nabla\phi) \cdot \nabla_v f_0 = 0, \quad \nabla^2 \phi = \frac{e}{\epsilon_0} \iiint_{-\infty}^{\infty} f \, d^3v$$

Fourier-Ansatz (Vlasov, J.Phys.USSR '45)

$$\Phi, f \propto \exp(ikx - i\omega t)$$

Winkelfrequenz ω (reell) (\rightarrow unendliche Lebensdauer der Welle)

Ansatz im Laplace-Raum (Landau, J. Phys. (USSR) X (1) 25 (1946))

$$\Phi, f \propto \exp(ikx + st), \quad s \equiv \gamma - i\omega \text{ komplex}$$

Realteil: Anwachsrate γ (\rightarrow Störung kann anwachsen ($\gamma > 0$) oder gedämpft sein ($\gamma < 0$))

Laplace-Transformation

Definition : $\mathcal{L}(f(t)) = \tilde{f}(s) \equiv \int_0^\infty f(t) e^{-st} dt$ Beachte : Untere Integrationsgrenze $t = 0$

Rechenregeln für die zeitliche Ableitung:

$$\mathcal{L}\left(\frac{\partial f}{\partial t}\right) \equiv \mathcal{L}(f') = \int_0^\infty f'(t) e^{-st} dt = [f(t) e^{-st}]_0^\infty + s \int_0^\infty f(t) e^{-st} dt = s\tilde{f}(s) - f(t=0)$$

Anfangswert bei $t = 0$ geht in die Zeitableitung der Laplace-Transformierten ein!

Ebenso, für die zweite Ableitung:

$$\mathcal{L}(f'') = s[s\tilde{f}(s) - f(t=0)] - f'(t=0)$$

Bemerkung:

Die räumliche Ableitung bleibt wie im Ansatz ebener Wellen:

$$\mathcal{L}(\nabla f(\vec{r}, t)) = \nabla \mathcal{L}(f(\vec{r}, s)) \rightarrow i\vec{k} \tilde{f}(k, s)$$

Laplace-Transformation der Vlasov- und Poisson-Gleichungen

$$s\tilde{f} - f(t=0) + ikv_z\tilde{f} + i\frac{e}{m}k\tilde{\phi} \frac{\partial f_0}{\partial v_z} = 0, \quad k^2\tilde{\phi} = -\frac{e}{\epsilon_0} \iiint_{-\infty}^{\infty} \tilde{f} d^3v$$

Vlasov-Gl. nach \tilde{f} auflösen, in Poisson-Gleichung einsetzen:

$$k^2\tilde{\phi} = -\frac{e}{\epsilon_0} \iiint_{-\infty}^{\infty} \frac{f(t=0)}{s + ikv_z} d^3v + i \underbrace{\frac{e^2 n_0}{\epsilon_0 m}}_{\omega_p^2} k\tilde{\phi} \frac{1}{n_0} \iiint_{-\infty}^{\infty} \frac{\partial f_0 / \partial v_z}{s + ikv_z} d^3v$$

Mit der 1-D Verteilungsfunktion (wie zuvor): $F(v_z) \equiv \frac{1}{n_0} \iint_{-\infty}^{\infty} f(\vec{v}) dv_x dv_y$

$$k^2\tilde{\phi} = -\frac{en_0}{\epsilon_0} \int_{-\infty}^{\infty} \frac{F(t=0)}{s + ikv_z} dv_z + i\omega_p^2 k\tilde{\phi} \int_{-\infty}^{\infty} \frac{\partial F_0 / \partial v_z}{s + ikv_z} dv_z$$

Weiterer Plan:

- (a) Nach $\tilde{\phi}$ auflösen,
- (b) Inverse Laplace-Transformation: $\tilde{\phi} \rightarrow \phi$,
- (c) Dispersionsrelation finden

Lösung für $\tilde{\phi}$ (Laplace-Transformierte des Potenzials)

Um etwaige Singularitäten besser zu sehen, erweitern wir die Integranden mit $-i/k$, d.h. $1/(s + ikv_z) \rightarrow -(i/k) / (v_z - is/k)$.

$\tilde{\phi}(k, s)$ ergibt sich als Quotient einer Zählerfunktion $Z(k, s)$ und einer Nennerfunktion $N(k, s)$:

$$\tilde{\phi} = \frac{Z(k, s)}{N(k, s)}$$

mit:

$$Z(k, s) = i \frac{en_0}{\epsilon} \frac{1}{k^3} \int_{-\infty}^{\infty} \frac{F(t=0)}{v_z - is/k} dv_z$$

und:

$$N(k, s) = 1 - \frac{\omega_p^2}{k^2} \int_{-\infty}^{\infty} \frac{\partial F_0 / \partial v_z}{v_z - is/k} dv_z$$

Haben nun zwei mögliche Singularitäten:

$$(a) \quad N = 0, \quad (b) \quad v_z = i \frac{s}{k} = \frac{i\gamma + \omega}{k}$$

Wie wir gleich sehen werden, *erleichtert* dies unser Vorhaben statt es zu verunmöglichen!

Inverse Laplace-Transformation

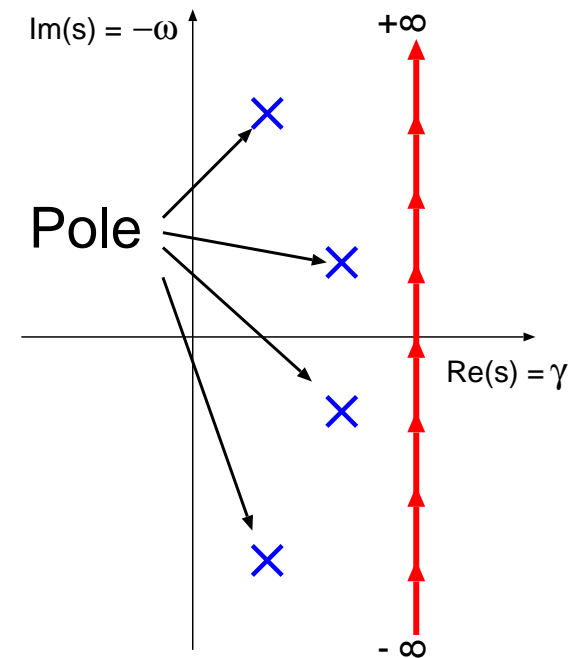
$$\phi(k, t) = \frac{1}{2\pi i} \int_{\sigma - i\infty}^{\sigma + i\infty} \tilde{\phi}(k, s) e^{st} ds$$

Der Integrationspfad in der komplexen s -Ebene kann beliebig gewählt werden, solange er “rechts von allen Polen” verläuft ($\gamma > \gamma_p$ für alle Pole p).

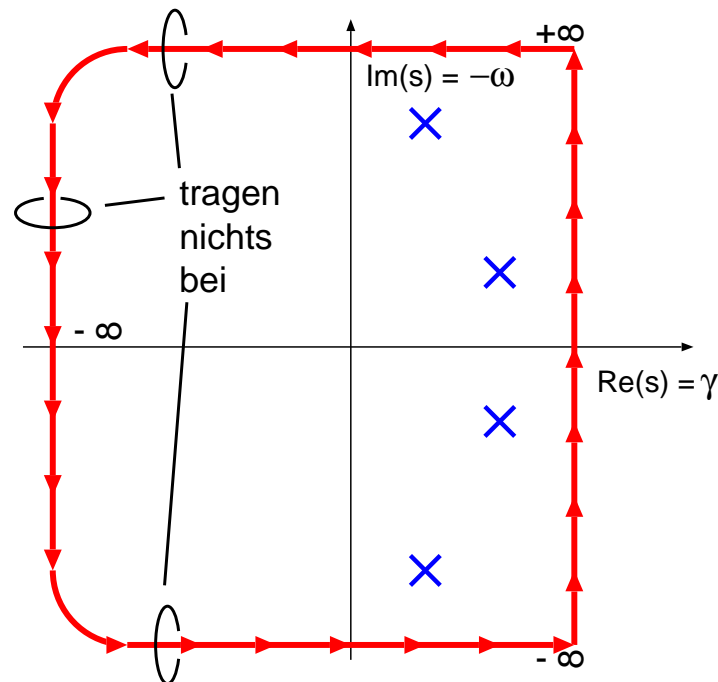
Beweis: Tom Apostol, Mathematical Analysis, Chapter 15, Theorems 15-34

Drei Integrationspfade (“Konturen”) mit gleichem Resultat:

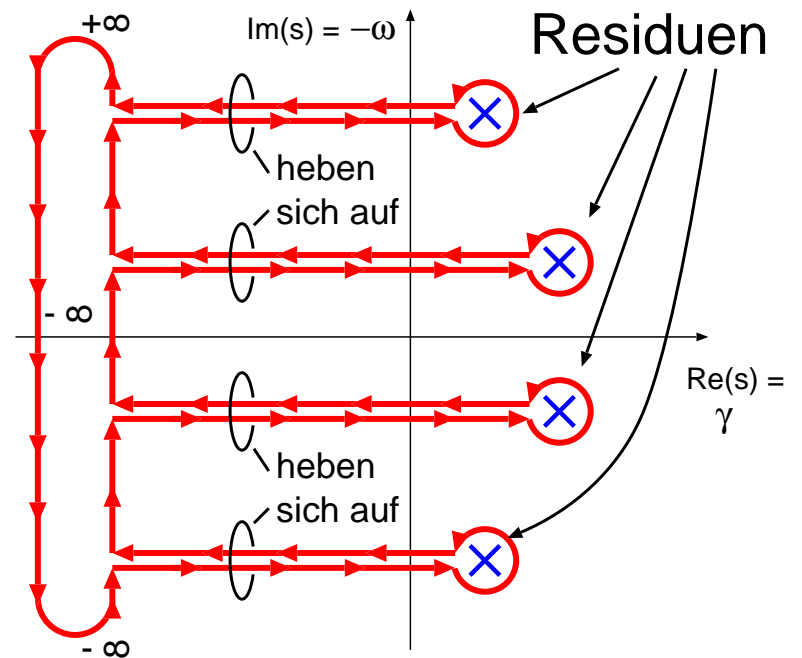
Eigentliche Vorschrift



Geschlossener Pfad



Summe über Residuen



Das Pfad-Integral vereinfacht sich zur Summe über die Residuen!

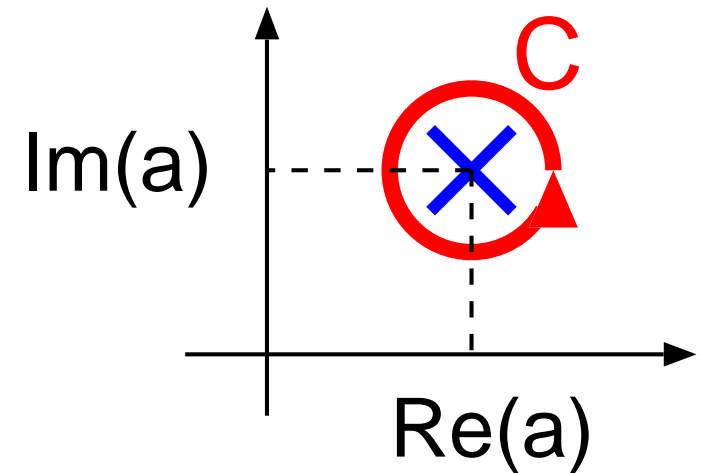
Integralformel von Cauchy

Sei $f(z)$ stetig, ableitbar (entwickelbar)

C eine enge Kontour um a

Dann ist das Residuum:

$$\Rightarrow \oint_C \frac{f(z)}{z-a} dz = \underbrace{2\pi i f(a)}_{\equiv \text{Res}[f(a), a]}$$



Das Kontour-Integral zur inversen Laplace-Transformation ist die Summe der Residuen i :

$$\phi(k, t) = \sum_i e^{s_i t} \text{Res} [\tilde{\phi}(k, s_i), s_i]$$

Wir hatten: $\tilde{\phi} = Z/N$; die Pole von $\tilde{\phi}$ sind die Nullstellen von N :

$$N(k, s) = 1 - \frac{\omega_p^2}{k^2} \int_{-\infty}^{\infty} \frac{\partial F_0 / \partial v_z}{v_z - is/k} dv_z$$

Um diese zu bestimmen, müssen wir noch das Integral (R.S., 2. Term) lösen, wenn möglich mit der gleichen Methode.

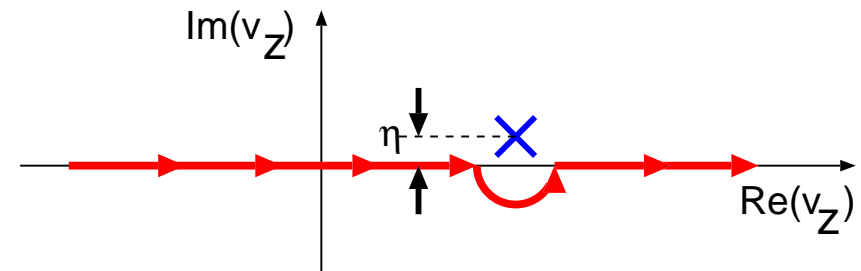
Integration über die Geschwindigkeit

$$s = \gamma - i\omega \quad \Rightarrow \quad N(k, s) = 1 - \frac{\omega_p^2}{k^2} \int_{-\infty}^{\infty} \frac{\partial F_0 / \partial v_z}{v_z - \omega/k - i\gamma/k} dv_z$$

Beschränken uns hier auf den Grenzfall kleiner

Wachstumsrate $|\gamma| < |\omega|$

\Rightarrow Pol liegt nahe beim Integrationspfad.



Plemelj-Dirac-Formel:

$$\lim_{\eta \rightarrow 0} \int_{-\infty}^{+\infty} \frac{f(x)}{x - a \pm i\eta} dx = P \left[\int_{-\infty}^{+\infty} \frac{f(x)}{x - a} dx \right] \mp \underbrace{i\pi f(a)}_{\text{"Halbes" Residuum}}$$

mit:

$$P[] \equiv \lim_{\varepsilon \rightarrow 0} \left[\int_{-\infty}^{a-\varepsilon} \frac{f(x)}{x-a} dx + \int_{a+\varepsilon}^{+\infty} \frac{f(x)}{x-a} dx \right]$$

Vorgehen:

- Berechne $N(k, -i\omega)$, d.h. für $\gamma = 0$, aus P-D-Formel
- Entwickle $N(k, s)$ für kleine γ um $N(k, -i\omega) \Rightarrow$ Linearisierte Näherung für γ

Entwicklung der Dispersionsfunktion nach $i\gamma$ (in 1. Ordnung)

$$N(k, s) = N_r(k, -i\omega) + iN_i(k, -i\omega) + i\gamma \left(\frac{\partial N}{\partial(i\gamma)} \right)_{\gamma=0}$$

Realteil, aus Plemelj-Dirac-Formel, und mit partieller Integration:

$$N_r(k, -i\omega) = 1 - P \left[\frac{\omega_p^2}{k^3} \int_{-\infty}^{\infty} \frac{F_0}{(v_z - \omega/k)^2} dv_z \right]$$

Imaginärteil, aus Plemelj-Dirac-Formel:

$$N_i(k, -i\omega) = i\pi \frac{\omega_p^2}{k^2} \left(\frac{\partial F_0}{\partial v_z} \right)_{v_z=\omega/k}$$

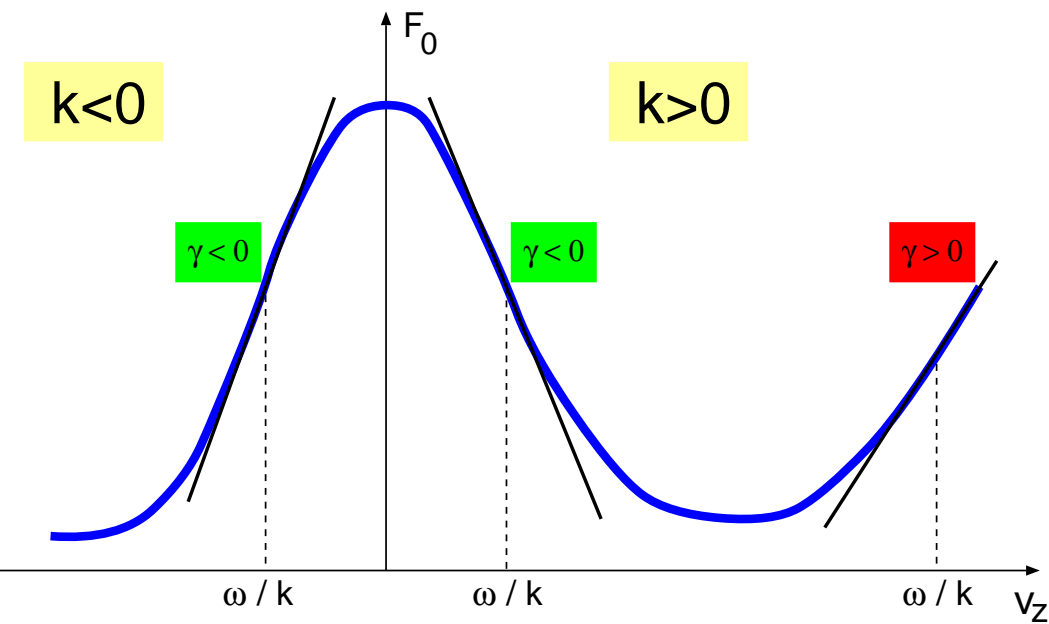
Erste Ableitung nach $i\gamma$, mit partieller Integration:

$$\frac{\partial N}{\partial(i\gamma)} = \frac{\partial N}{\partial\omega} = -\frac{\omega_p^2}{k^3} \int_{-\infty}^{\infty} \frac{\partial F_0 / \partial v_z}{(v_z - \omega/k - i\gamma/k)^2} dv_z = 2 \frac{\omega_p^2}{\omega^3} \int_{-\infty}^{\infty} \frac{F_0}{\left(1 - \frac{v_z k}{\omega} + i \frac{\gamma}{\omega}\right)^3} dv_z$$

N.B.: Für $\gamma = 0$ ist $\partial N / \partial(i\gamma)$ rein reell und hat das Vorzeichen von k

Linearisierte Anwachsrate

$$\gamma = -\frac{N_i}{(\partial N / \partial \omega)_{\gamma=0}} = \pi \frac{k}{|k|} \frac{\omega_p^2}{k^2 |\partial N / \partial \omega|_{\gamma=0}} \left(\frac{\partial F_0}{\partial v_z} \right)_{v_z=\omega/k}$$



— Die Welle wird gedämpft ($\gamma < 0$) für monoton mit $|v|$ abfallende Verteilungsfunktion:

$$\frac{\partial F_0}{\partial v_z} \frac{k}{|k|} < 0$$

— Andererseits kann die Welle verstärkt werden ($\gamma > 0$) wenn die Verteilungsfunktion ein lokales Minimum hat (z.B. Teilchenstrahl)

Beispiel: Hochfrequente Wellen

Vgl. letzte Vorlesung: $x \equiv v_z k / \omega \ll 1$

→ Reihenentwicklung: $(1 - x)^{-3} \sim 1 + 3x + 6x^2 + \dots$, so dass

$$\left(\frac{\partial N}{\partial \omega} \right)_{\gamma=0} = 2 \frac{\omega_p^2}{\omega^3} \int_{-\infty}^{\infty} \left[1 + 3 \left(\frac{v_z k}{\omega} \right) + 6 \left(\frac{v_z k}{\omega} \right)^2 + \dots \right] F_0(v_z) dv_z$$

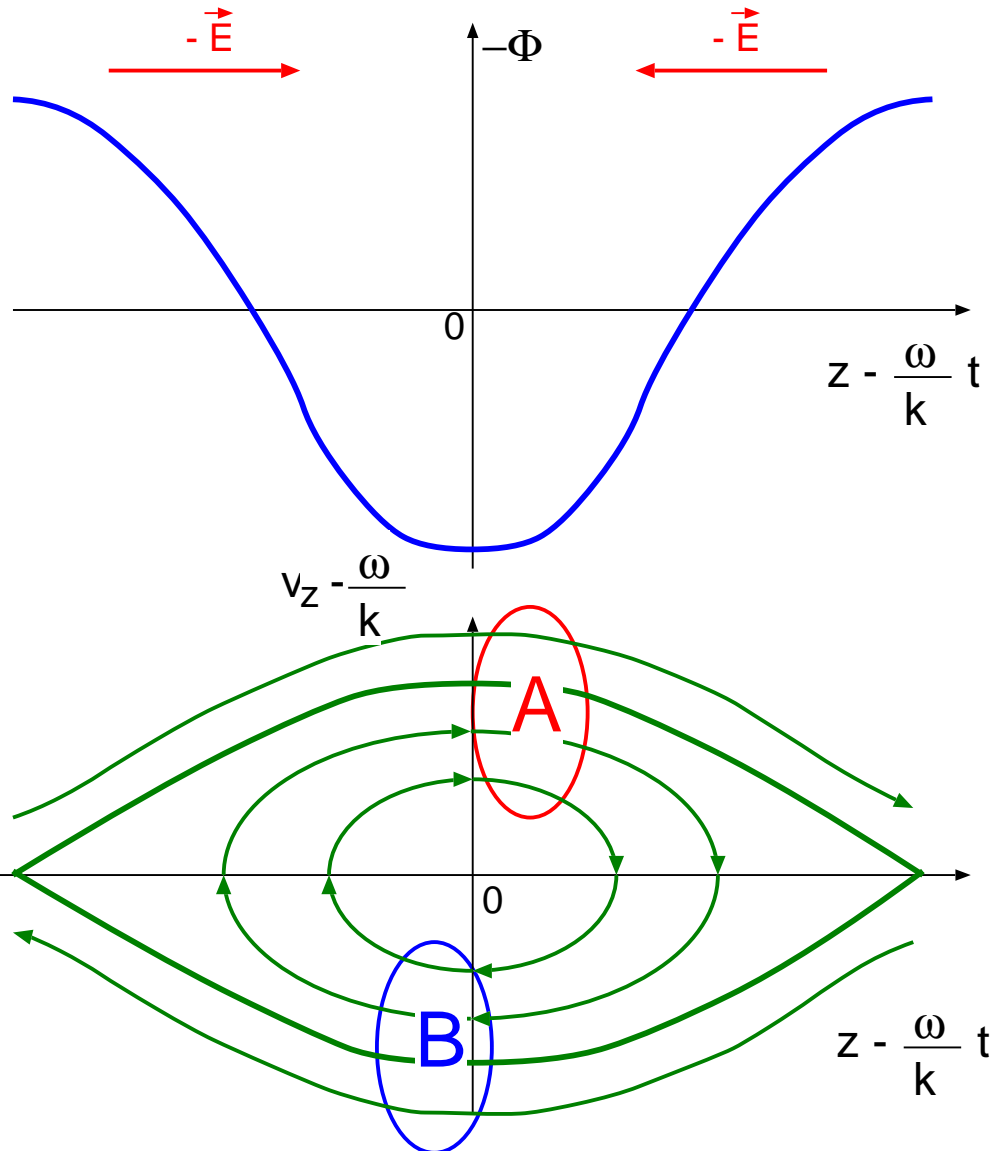
Wiederum entfällt der lineare Term wg. gerader Symmetrie des Integranden.

Linearisierte Wachstumsrate, mit weiterer Reihenentwicklung $(1 + x)^{-1} = 1 - x \pm \dots$

$$\gamma = - \frac{N_i}{(\partial N / \partial \omega)_{\gamma=0}} = \frac{\pi \omega^3}{2 k^2} \left[1 - 3 \frac{k^2}{\omega} \langle v_z^2 \rangle \right] \left(\frac{\partial F_0}{\partial v_z} \right)_{v_z=\omega/k}$$

Physikalische Ursache der (linearen) Dämpfung

In mit $v_{ph} = \omega/k$ mitbewegten Koordinaten:



Beginne mit räumlich gleichverteilter Elektronendichte. Potenzialtrog ($-\phi$) beeinflusst Elektronen in der Nähe von $v_z = \omega/k$.

(A) $v_z > \omega/k$:

– Kinetische Energie $\propto v_z^2$ sinkt,

\Rightarrow Energieübertrag in das elektrische Feld

(B) $v_z < \omega/k$:

– Kinetische Energie $\propto v_z^2$ steigt,

\Rightarrow Energieentnahme aus dem Feld

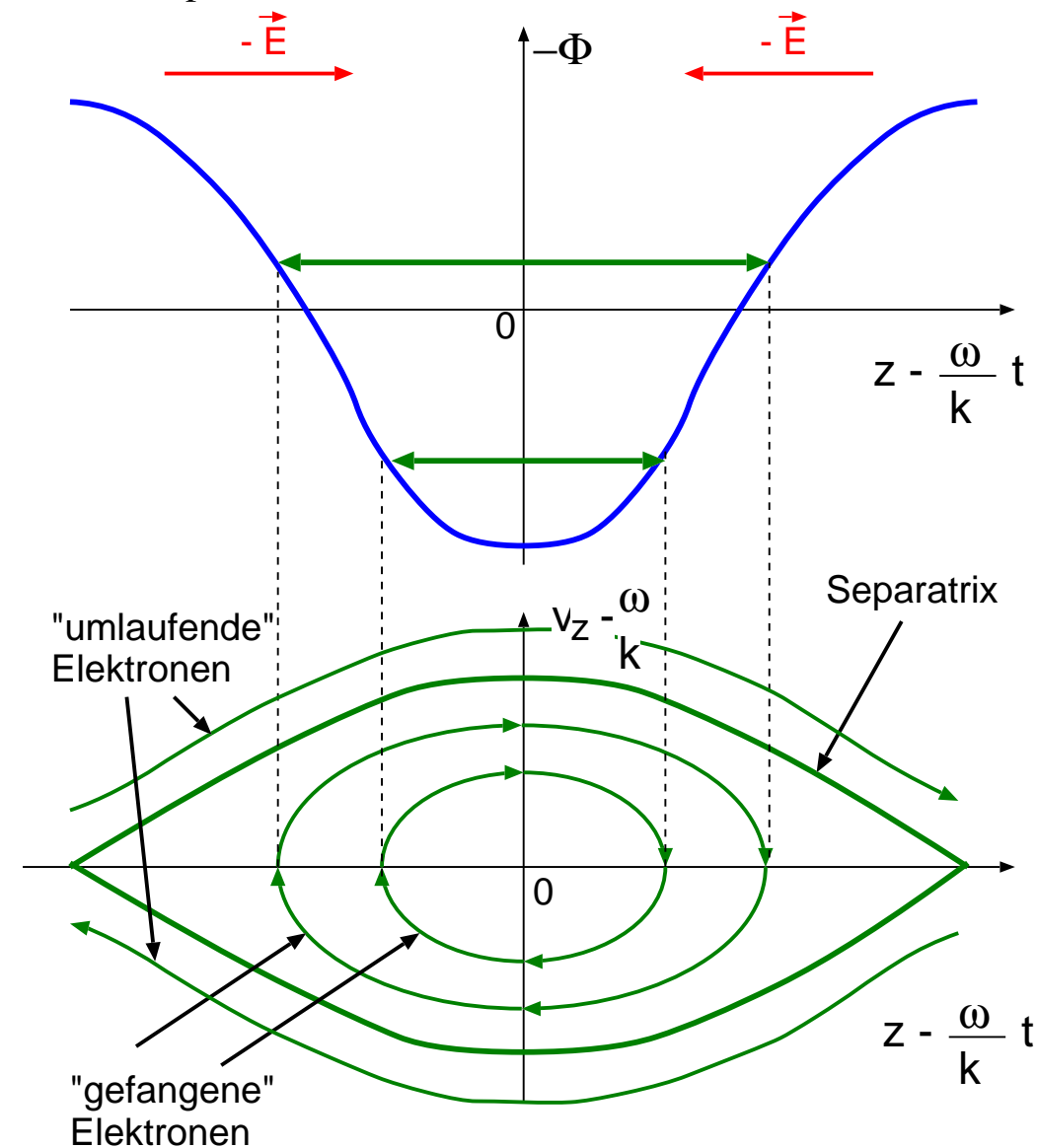
Wenn Phasenraumdichte mit steigendem v_z abnimmt, dann gibt es mehr Teilchen Typ (b) als Typ (a)

\Rightarrow Welle wird im Saldo gedämpft

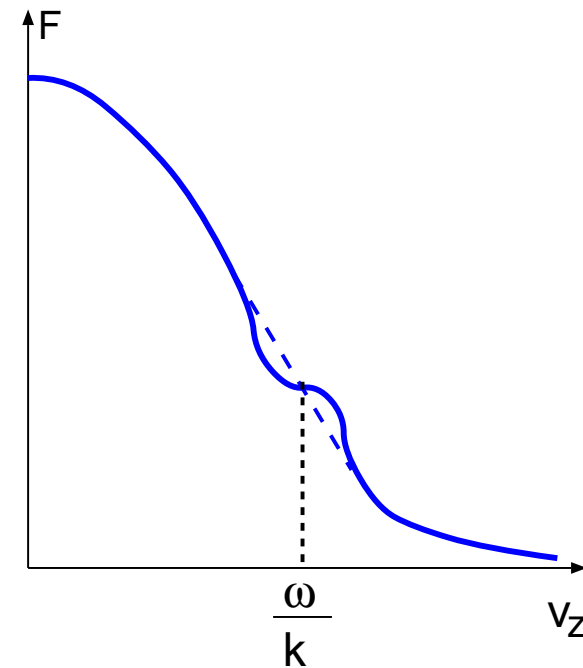
(Amplitude des Potentials nimmt ab)

Nichtlinearer Verlauf der Dämpfung

In mit $v_{ph} = \omega/k$ mitbewegten Koordinaten:



Ein Teil der Elektronen sind im Potenzialtrog gefangen. Sie oszillieren mit unterschiedlicher Frequenz um das $(-\phi)$ -Minimum herum (*phase mixing*).
 \Rightarrow Abflachung der Phasenraumdicke
 \Rightarrow Reduktion der Dämpfungsrate



Zusammenfassung: Landau-Dämpfung

- Wir betrachten ein einfaches eindimensionales kinetisches Plasmamodell
 - elektrostatisch, $E(x) = -\partial\phi(x)/\partial x$, (Magnetfeld $B = 0$)
 - bewegliche Elektronen, unbewegliche Ionen (konstanter positiver Ladungshintergrund)
- Ansatz für Potenzial und Verteilungsfunktion im Laplace-Raum ($s \equiv \gamma - i\omega$):
 $\phi(k, \omega, \gamma), f(k, \omega, \gamma) \propto \exp(ik + \gamma t - i\omega t)$
- Der eine Anwachsrate γ enthaltene Ansatz umgeht die Singularität bei $v = v_{\text{ph}} = \omega/k$ einer ungedämpften ebenen Welle (Fourier-Ansatz)
- Für eine mit $|v|$ abfallende Verteilungsfunktion (z.B. Maxwell-Verteilung) ist generell $\gamma < 0$, d.h. die elektrostatische Welle wird durch Energieübertrag an die Teilchen gedämpft.
- Eine mit $|v|$ ansteigende Verteilungsfunktion kann (im Prinzip) Energie an das Feld abgeben und damit zu $\gamma > 0$ (Anwachsen der Welle) führen. (Dieser Fall wurde hier nicht weiter untersucht)